

不擾乱粘性土の動的変形特性に関する実験

建設省土木研究所 正員 岩崎敏男 常田賢一 吉田精一
東京大学生産技術研究所 正員 龍岡文夫

§ 1 まえがき

粘性土の動的特性（変形・強度）に関するには、砂質土ほど明確な把握はなされていないのが実情である。本報告は、不擾乱粘性土を用いて実施した室内動的変形試験から「セン断剛性率 (G) のヒズミ (ϵ) 依存性」に及ぼす諸要因の影響を明らかにし、さらにその定量的評価を試みたものである。

§ 2 実験概要

実験装置は、低ヒズミ領域 ($\epsilon \approx 10^{-6} \sim 5 \times 10^{-4}$) では共振法土質試験機を、中・高ヒズミ領域 ($\epsilon \approx 5 \times 10^{-4} \sim 2 \times 10^{-2}$) では振動三軸試験機を用いた。実験対象とした試料は、東京湾岸の沼島町、千鳥町、荒川・中川、境川、沼島沖と神戸のポートアイランドの不擾乱粘性土である。実験より得られた $G/\{G_0\}_{\epsilon=0}$ の関係に影響を及ぼす諸要因の検討および $G/\{G_0\}_{\epsilon=0}$ の定量的評価を行った。 $G/\{G_0\}_{\epsilon=0}$ に影響を及ぼす諸要因として実験時拘束圧力 σ_c 、圧密圧力 σ_m 、塑性指数 I_p 、実験時間隙比 T_c 、圧密時間 T_d と圧密条件 3 種（正規圧密 N.C., 過正圧 D.C., 長期圧密 L.C.）について検討した。

§ 3 低ヒズミ領域における結果

図-1 に $G/\{G_0\}_{\epsilon=10^{-6}} \sim \epsilon$ の関係の一例を示す。図-1 の結果を基にして $G/\{G_0\}_{\epsilon=10^{-6}} \sim \epsilon$ に及ぼす $0^\circ C$ の影響を調べた例として正規圧密試料の $\epsilon = 5 \times 10^{-5}$ における結果を図-2 に示す。 $0^\circ C$ の減少に伴い、 $G/\{G_0\}_{\epsilon=10^{-6}}$ の値が減少する傾向が見られる。また、長期圧密、過正圧の試料では $0^\circ C$ の影響は正規圧密より小さくなる結果が得られている。 $G/\{G_0\}_{\epsilon=10^{-6}} \sim \epsilon$ に及ぼす I_p の影響について正規圧密試料の $\epsilon = 5 \times 10^{-5}$ の場合の結果を図-3 に示す。図から I_p の増大に伴い $G/\{G_0\}_{\epsilon=10^{-6}}$ の値は減少する傾向が見られるが、既往の研究成果¹⁾とは逆の傾向となるが、原因は不明である。また、過正圧、長期圧密の試料では小さくなる結果が得られている。図-4 に $G/\{G_0\}_{\epsilon=10^{-6}} \sim \epsilon$ に及ぼす圧密時間 T_d の影響を示す。図中 24 小時のデータは $D_{10} = 5\text{mm}$ の正規圧密試料のデータの範囲である。同図より圧密時間が 24 小時以下では、圧密時間の経過に伴い $G/\{G_0\}_{\epsilon=10^{-6}}$ の値は増加するが、24 小時以上では 24 小時のばりつきを除くと T_d の影響は小さいと言える。

§ 4 低ヒズミ領域における $G/\{G_0\}_{\epsilon=10^{-6}} \sim \epsilon$ の定量的評価

前節で $G/\{G_0\}_{\epsilon=10^{-6}}$ の値が $0^\circ C$ の減少に伴い減少し、 I_p の増大に伴い減少する傾向があることが分った。そ

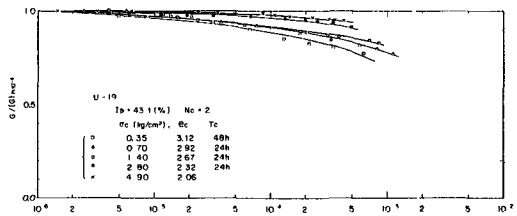


図-1 共振法土質試験結果例 ($G/\{G_0\}_{\epsilon=10^{-6}} \sim \epsilon$)

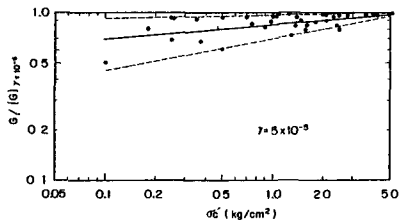


図-2 $G/\{G_0\}_{\epsilon=10^{-6}} \sim \sigma_c$

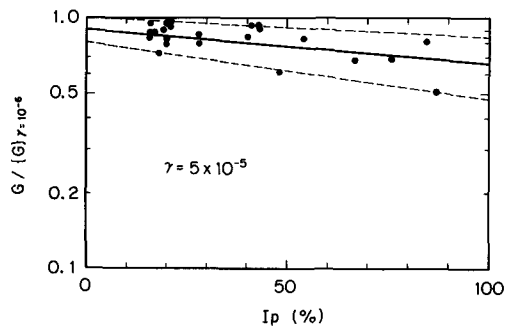


図-3 $G/\{G_0\}_{\epsilon=10^{-6}} \sim I_p$

さて、図-2,3のよう各ヒズミレベル毎に平均的関係を想定した結果、任意の σ_c ($0.1 \leq \sigma_c \leq 5.0 \text{ kg/cm}^2$) 及び I_p ($0 \leq I_p \leq 100\%$) に対する $\gamma / \{G\}_r = 10^{-6}$ ～ γ の関係が(1)式及び(2)式で得られた。

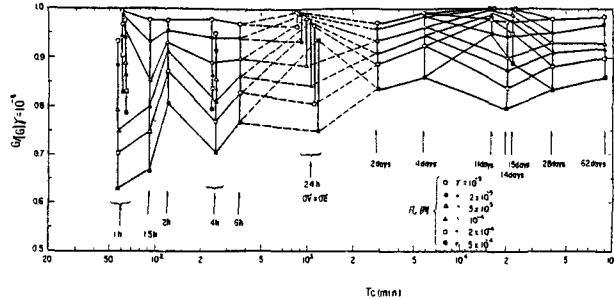


図-4 $G/G_r|_{r=10^{-6}} \sim T_c$

$$\left[G/G_r|_{r=10^{-6}} \right]_{\sigma_c} = f(\sigma_c) = A(\sigma_c)^B \quad \cdots \cdots (1)$$

$$\left[G/G_r|_{r=10^{-6}} \right]_{I_p} = G(I_p) = C \cdot 10^{d_I p} \quad \cdots \cdots (2)$$

定数 A , B は図-2の結果または、図-3の結果から各ヒズミ毎に得られる値である。次に σ_c と I_p の両者の影響を考慮して推定式試作。図-5は、 $\gamma = \gamma \times 10^{-4}$ における実験値と(1)式に基づく推定値との比 $[G_r(I_p)]$ と I_p の関係例を示す。ここでは、同図に示すように平均曲線の設定を行った。(1)式と図-5を用いて(3)式により任意の σ_c 及び I_p に対する $G/G_r|_{r=10^{-6}}$ ～ γ 関係が推定できる。

$$\left[G/G_r|_{r=10^{-6}} \right]_{\sigma_c, I_p}^{IP} = f(\sigma_c) \cdot g_1(I_p) \quad \cdots \cdots (3)$$

さて、 $f(\sigma_c)$ は(1)式から、また、 $g_1(I_p)$ は図-5のようにしてヒズミ毎に求められる。図-6は(3)式に基づく σ_c 及び I_p の影響を考慮した $\gamma = \gamma / \{G\}_r = 10^{-6}$ ～ γ の算定例を示す。図-7は、 $f(\sigma_c) \cdot g_1(I_p)$ と間隙比 e_c の関係を示すが、(3)式に対する影響は小さい。図-8は、(3)式を用いた推定値と実験値と比較図である。

8.5 中・高ヒズミ領域における結果

図-9は、 $G/G_r|_{r=10^{-3}} = 10^{-3}$ ～ γ 関係の一例を示す。

図-10に正規正規試料での $G/G_r|_{r=10^{-3}} = 10^{-3}$ ～ γ に及

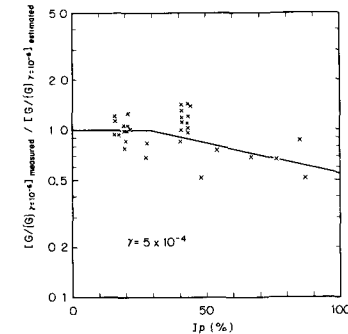


図-5 $[G/G_r]_{r=10^{-6}}$ 実測値 / $[G/G_r]_{r=10^{-6}}$ 推定値

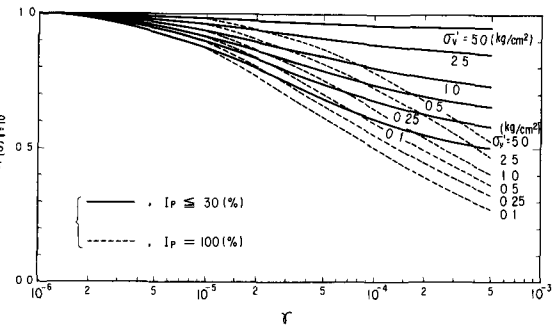


図-6 σ_c および I_p を考慮した $G/G_r|_{r=10^{-6}}$ ～ γ 曲線

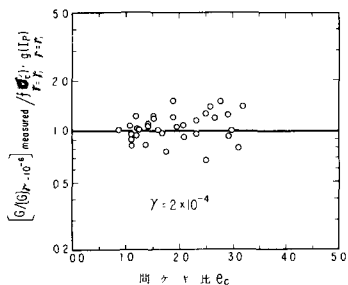


図-7 $f(\sigma_c) \cdot g_1(I_p) \sim e_c$

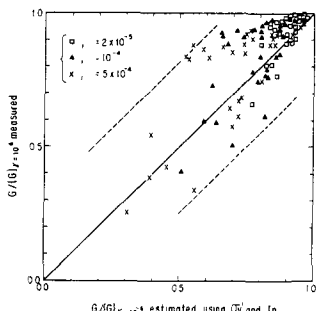


図-8 実測値と σ_c および I_p による推定値との比較

げすりの影響を示す。各ヒズミレベルにおける $\eta/\{G\}_f = 5 \times 10^{-4}$ の値は γ に左右されず一定である。この傾向は、長期圧密・過正密試料においても同様に見られる。

図-17に正規圧密試料ごとの $\eta/\{G\}_f = 5 \times 10^{-4}$ に対する I_p の影響を示す。 I_p の増加に伴い $\eta/\{G\}_f = 5 \times 10^{-4}$ の値は増加する傾向が見られる。また、長期圧密・過正密試料では γ の傾向は顕著でない。図-12は $\eta/\{G\}_f = 10^{-3}$ に対する I_p と正規圧密時間 T_c の影響を示す。図中の24hの織の実線は、正規圧密のデータ(圧密時間24h)の範囲を示す。圧密時間による影響は見られず。

§ 6 中・高ヒズミ領域における $\eta/\{G\}_f = 5 \times 10^{-4} \sim \infty$ の定量的評価

前節で $\eta/\{G\}_f = 5 \times 10^{-4}$ の値は、 γ に左右されず一定で I_p の増大に伴い増加する傾向があることや、 $\eta/\{G\}_f = 5 \times 10^{-4}$ の値は γ に多少の推定値(図-11の平均値)と実験値との比 $\{G\}_f(I_p)$ と I_p の関係を図-13に示す。同図に示すヒズミレベル毎に $\eta/\{G\}_f = 5 \times 10^{-4} \sim I_p$ 関係の平均曲線の設定を行ない、(4)式でその関係を表した。

$$[\eta/\{G\}_f = 5 \times 10^{-4}]_{\text{実験値}} / [\eta/\{G\}_f = 5 \times 10^{-4}]_{\text{推定値}} = g_2(I_p) = E \cdot I_p + F \quad \cdots \cdots (4)$$

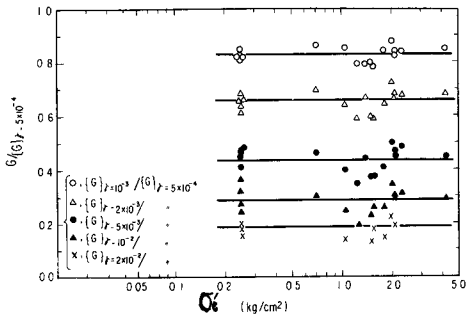


図-10 $\eta/\{G\}_f = 5 \times 10^{-4} \sim \infty$

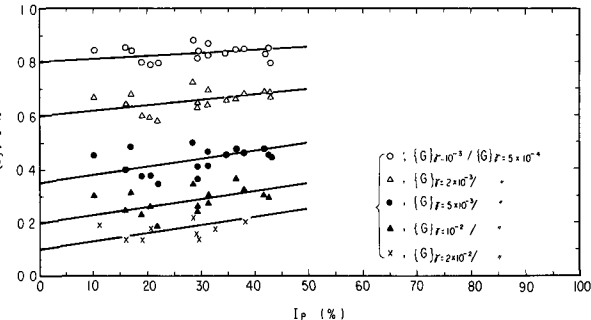


図-11 $\eta/\{G\}_f = 5 \times 10^{-4} \sim I_p$

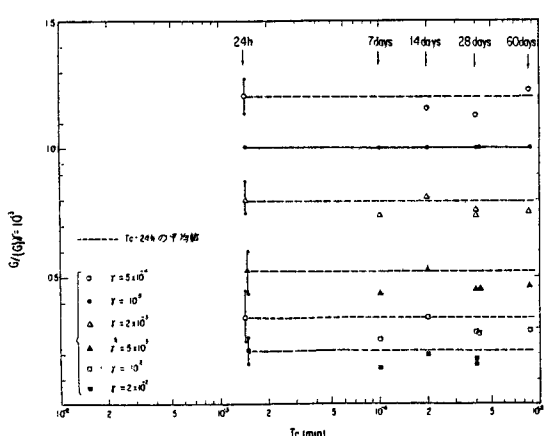


図-12 正密時間 T_c の影響

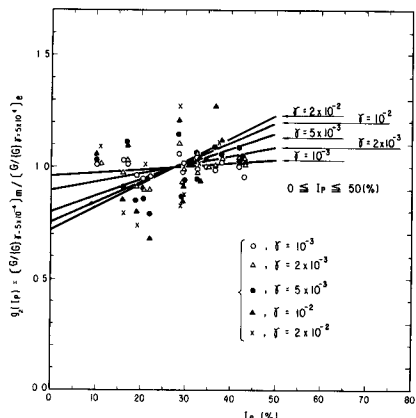


図-13 $g(I_p) \sim I_p$

E_F の値は、図-13 で設定された曲線からヒズミ毎に得られる。以上の結果から $G/\{G\}_0 = 5 \times 10^{-4}$ の値を求める推定式が(5)式のようになる。

$$\left[\frac{G}{G_0} / \{G\}_0 = 5 \times 10^{-4} \right]_{O'_c}^{I_p} = F(O'_c) \cdot g_2(I_p) \quad \text{--- (5)}$$

ここで $F(O'_c)$ は、図-10 から決定する。 $G/\{G\}_0 = 5 \times 10^{-4}$ の実験値と推定式(5)による値との比と剪断比 ϵ_c との関係を図-14 に示すが、 ϵ_c の影響は小さい。図-15 は $G/\{G\}_0 = 5 \times 10^{-4}$ の実験値と(5)式による推定値の比較を示す。

§7 広範囲のヒズミ領域 ($\gamma = 10^6 \sim 2 \times 10^{-2}$) における

$G/\{G\}_0 = 10^{-6} \sim \gamma$ の定量的評価

(3) 式と(5)式を併用することによって広範囲なヒズミ領域 ($\gamma = 10^6 \sim 2 \times 10^{-2}$) において O'_c 及び I_p を考慮した $G/\{G\}_0 = 10^{-6} \sim \gamma$ の関係を算定できる。その結果の一例を図-16 に示す。

§8 まとめ

(1) 低ヒズミ領域 ($\gamma = 10^{-6} \sim 5 \times 10^{-4}$) では $G/\{G\}_0 = 10^{-6}$ のヒズミ依存性は O'_c 及び I_p の影響を受けるが、これらのパラメータに基づく $G/\{G\}_0 = 10^{-6} \sim \gamma$ の推定式は各々(3)式及び(3)式で表される。又、 O'_c 、 I_p の両者の影響を考慮した推定式は(3)式で表される。

(2) 中・高ヒズミ領域 ($\gamma = 5 \times 10^{-4} \sim 2 \times 10^{-2}$) では、 $G/\{G\}_0 = 5 \times 10^{-4}$ の推定式は(5)式で表される。

(3) (1) 及び(2)の結果を結びつけることにより、任意の O'_c ($= 0.1 \sim 5.0 \text{ kg/cm}^2$)、任意の I_p ($= 0 \sim 50\%$) に対する $G/\{G\}_0 = 10^{-6} \sim \gamma$ の関係を推定できる。

(4) $G/\{G\}_0 = 10^{-6}$ および $G/\{G\}_0 = 5 \times 10^{-4}$ に対する I_p の差異に関する検討を行なう必要がある。

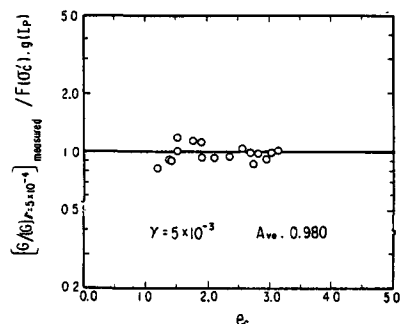


図-14 $F(O'_c) \cdot g_2(I_p) \sim \epsilon_c$

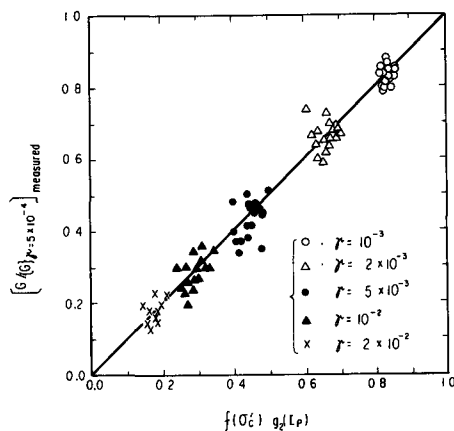


図-15 実験値と推定値の比

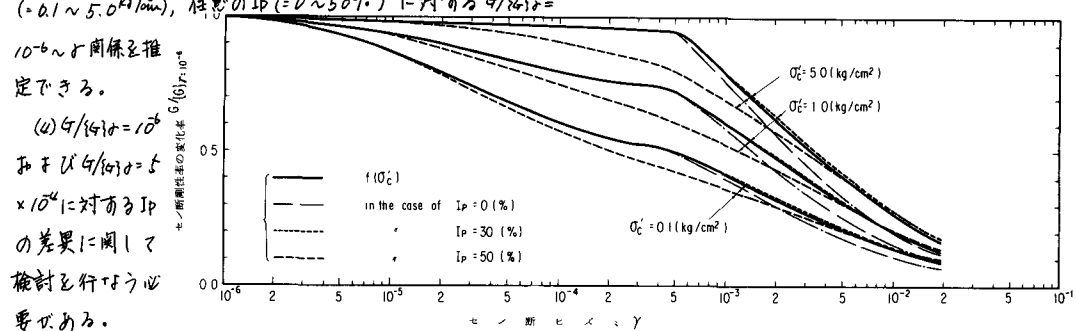


図-16 広範囲なヒズミ領域 ($\gamma = 10^{-6} \sim 2 \times 10^{-2}$) における $G/\{G\}_0 = 10^{-6} \sim \gamma$ 曲線例

参考文献

- (1) 善・梅原・渕田：LABORATORY TESTS AND IN-SITU SEISMIC SURVEY ON VIBRATORY SHEAR MODULUS OF CLAYEY SOIL WITH VARIOUS PLASTICITIES 5th. J.E. E.S., 1978

(2) 岩崎、常田、吉田、龍田「粘性土の動的変形特性に関する実験」第14回土質工学研究発表会 1979.6.

(3) 岩崎、常田、吉田、「正規圧密下の沖積粘性土の動的変形特性」土木技術資料 Vol. 21-8